## ГОРЮНОВ М. В., ПЕСКОВА Е. Е.

## РАЗРАБОТКА ПРОГРАММНОГО МОДУЛЯ ДЛЯ РЕШЕНИЯ УРАВНЕНИЙ ХИМИЧЕСКОЙ КИНЕТИКИ<sup>1</sup>

**Аннотация.** Работа посвящена разработке программного модуля для решения уравнений химической кинетики с использованием специализированной явной схемы второго порядка. Были решены системы уравнений, описывающие механизм пиролиза этана. Показано, что реализованный алгоритм дает заметный выигрыш по времени выполнения.

**Ключевые слова:** химическая кинетика, жесткие системы дифференциальных уравнений, пиролиз этана.

## GORYUNOV M. V., PESKOVA E. E. DEVELOPMENT OF SOFTWARE MODULE FOR SOLVING CHEMICAL KINETICS EQUATIONS

**Abstract.** The study deals with the development of a specific software module for solving chemical kinetics equations using a specialized explicit second-order scheme. The equations systems describing the ethane pyrolysis mechanism have been solved. It is shown that the implemented algorithm gives a noticeable gain on the execution time.

**Keyword:** chemical kinetics, hard systems of differential equations, ethane pyrolysis.

Введение. Химия — экспериментальная наука, в которой перед практическим использованием результатов, исследования веществ и реакций должны проверяться на опыте с последующими рекомендациями. На сегодняшний день актуальным подходом является математическое моделирование химических процессов. Оно зарекомендовало себя как эффективный и безопасный метод исследования, не требующий больших материальных затрат. Основные причины этого — технический прогресс, который определяется, прежде всего, фантастическими достижениями компьютерных технологий и успехами развития теоретических представлений о строении веществ.

Моделирование химических реакций в газах имеет огромную область практических приложений, таких как работа ТЭЦ, бензиновых и дизельных моторов, газофазные химические реакторы.

При численном решении задач химической кинетики возникают трудности, связанные с жесткостью решаемой системы дифференциальных уравнений. Жесткими называют задачи, решение которых содержит компоненты с резко различными характерными

 $<sup>^{1}</sup>$  Работа выполнена при поддержке Минобрнауки РФ (№ 1.6958.2017/8.9) и Российского фонда фундаментальных исследований (проект № 18-31-00102).

временами изменения [1]. При решении жестких систем ОДУ используются многошаговые методы Гира и схемы Розенброка. Однако данные схемы обладают высокой трудоемкостью.

Для численного решения задач химической кинетики в работе [2] предложен метод, основанный на специфической форме правых частей, которыми обладают дифференциальные уравнения, построенные на основе кинетических схем. Это явный алгоритм, имеющий малую трудоемкость и существенно превосходящий известные методы по простоте и надежности.

**Численный метод.** Предположим, что реагирующая смесь состоит из M компонент. Химический процесс можно описать совокупностью N элементарных стадий:

$$\sum_{i=1}^{M} \nu_{in}' A_i \leftrightarrow \sum_{i=1}^{M} \nu_{in}'' A_i , n = \overline{1, N}.$$

Здесь  $A_i$  — химические элементы,  $\nu'_{in}$ ,  $\nu''_{in}$  — стехиометрические коэффициенты компонента  $A_i$  в стадии n.

Система уравнений химической кинетики записывается следующим образом:

$$\frac{dc_i}{dt} = \sum_{n=1}^{N} (v_{in}^{"} - v_{in}^{"}) w_n, \quad i = 1, \dots, M,$$
(1)

где  $c_i$  – концентрация компонента  $A_i$ ,  $w_n$  – скорость элементарной стадии реакции:

$$w_n = k_n \prod_{i=1}^{M} (c_i)^{\nu'_{in}} - k_{-n} \prod_{i=1}^{M} (c_i)^{\nu''_{in}},$$

 $k_n$ ,  $k_{-n}$  – константы скоростей прямой и обратной стадии реакции, которые определяются из выражений Аррениуса [3]:

$$k_n = A_n \cdot e^{\left(-\frac{E_n}{RT}\right)}.$$

Здесь  $A_n$  – предэкспоненциальный множитель,  $E_n$  – энергия активации.

Согласно [2], систему (1) можно представить в следующем виде:

$$\frac{dc_i}{dt} = -c_i \varphi_i(c) + \psi_i(c), \quad c = (c_1, c_2, ..., c_M), \quad i = 1, ..., M.$$

Здесь  $c_i \ge 0$ ,  $\varphi_i(c) \ge 0$ ,  $\psi_i(c) \ge 0$ .

Решение данной системы находится простыми итерациями [2]:

$$\hat{c}_i^{s+1} = \frac{c_i + \tau \psi_i(\overline{c}^s)(1 + \tau \varphi_i(\overline{c}^s)/2)}{1 + \tau \varphi_i(\overline{c}^s) + (\tau \varphi_i(\overline{c}^s))^2/2}, \overline{c}^s = \frac{(c + \hat{c})}{2}, \hat{c}^0 = c.$$

Здесь  $c_i$  — решение в исходный момент времени,  $\hat{c}_i$  — решение в новый момент времени.

При численном решении системы выполняем две итерации, последующие итерации не повышают порядок точности и ухудшают надежность схемы [2].

**Программная реализация.** Рассмотрим элементарную стадию реакции следующего вида:

$$3a + b = c + 2d$$

Занумеруем компоненты: a-1, b-2, c-3, d-4. Для каждой реакции указываются номера компонент a,b,c,d в том порядке, в котором они записаны в реакции. В случае отсутствия некоторой компоненты записываем 0. Также будем полагать, что 0 не могут быть равны одновременно a и b, c и d.

Следующий этап — это запись коэффициентов, стоящих перед каждой компонентой. Коэффициент перед компонентой a —  $\overline{a}$ , b —  $\overline{b}$ , c —  $\overline{c}$ , d —  $\overline{d}$ .

Таким образом, каждая реакция определяется набором параметров  $a, b, c, d, \overline{a}, \overline{b}, \overline{c}, \overline{d}$ , а также предэкспоненциальным множителем A и энергией активации E. Эти 10 величин определяют структуру элементарной стадии реакции:

$$S = (a, b, c, d, \overline{a}, \overline{b}, \overline{c}, \overline{d}, A, E)$$
 (2)

Схема реакции представляется в виде таблицы, число строк в которой равно числу элементарных стадий. Добавление новых стадий сводится к добавлению строк этой таблицы.

Реальные химические задачи описываются большим количеством элементарных стадий с сотнями реагирующих компонент. В данной работе реализован алгоритм, который определяет  $\varphi_i$  и  $\psi_i$  автоматически. Этот алгоритм, реализованный в функциях  $solve\_phi$  и  $solve\_psi$ , сводится к цепочке последовательных проверок, которые находятся внутри двух циклов: внешнего и внутреннего. Внешний  $0...count\_substance$  — позволяет выбрать конкретное вещество. Внутренний  $0...count\_reaction$  — позволяет пройти по всем реакциям и найти совпадения, которые впоследствии будут обработаны исходя из условий.

Если  $\varphi_i$  — это  $\varphi$  для i-того вещества;  $\psi_i$  — это  $\psi$  для i-того вещества;  $k_j$  — константа скорости для j-той стадии реакции;  $c_a$  — концентрация вещества, с номером a;  $c_b$  — концентрация вещества, с номером b.

Для phi совпадения ищем среди a и b.

Если исходные вещества реакции одинаковые и оба совпадают с i-тым веществом (a=b), то  $\varphi_i=\varphi_i+(\overline{a}+\overline{b})\cdot k_i\cdot c_a^{\overline{a}+\overline{b}-1}.$ 

Если a равно i-тому веществу и b=0, то  $\varphi_i=\varphi_i+\overline{a}\cdot k_j\cdot c_a^{\overline{a}-1}$ , если b любое другое вещество, то  $\varphi_i=\varphi_i+\overline{a}\cdot k_j\cdot c_a^{\overline{a}-1}c_b$ .

Если b равно i-тому веществу и a=0, то  $\varphi_i=\varphi_i+\overline{b}\cdot k_j\cdot c_b^{\overline{b}-1}$ , если a любое другое вещество, то  $\varphi_{i=}\varphi_i+\overline{b}\cdot k_j\cdot c_b^{\overline{b}-1}c_a$ .

Для psi ищем совпадения в c и d.

Если c равно i-тому веществу, возникает три случая. Если a=0, то  $\psi_i=\psi_i+\overline{c}\cdot k_j\cdot c_b^{\overline{b}}$ ; если b=0, то  $\psi_i=\psi_i+\overline{c}\cdot k_j\cdot c_a^{\overline{a}}$ ; если a и b разные вещества, то  $\psi_i=\psi_i+\overline{c}\cdot k_j\cdot c_a^{\overline{a}}\cdot c_b^{\overline{b}}$ .

Если d равно i-тому веществу, возникают также три случая. Если a=0, то  $\psi_i=\psi_i+\overline{d}\cdot k_j\cdot c_b^{\overline{b}}$ ; если b=0, то  $\psi_i=\psi_i+\overline{d}\cdot k_j\cdot c_a^{\overline{a}}$ ; если a и b разные вещества, тогда  $\psi_i=\psi_i+\overline{d}\cdot k_j\cdot c_a^{\overline{a}}\cdot c_b^{\overline{b}}$ .

**Вычислительный эксперимент.** Описанный алгоритм был реализован на языке программирования С++. Для проверки работы программного модуля была решена система уравнений, описывающая процесс пиролиза этана. В качестве кинетической схемы принята брутто-реакция пиролиза этана, состоящая из двух элементарных стадий [4; 5].

Таблица 1 Схема и кинетические параметры механизма брутто-реакции пиролиза этана

№	Стадия	$A_i$ , $^{1}/_{c}$ или $^{\pi}/_{(\text{моль}\cdot c)}$	$E_i$ , $\frac{Дж}{MOЛЬ}$
1	$C_2H_6 \to C_2H_4 + H_2$	1.08E + 16	2.5E + 5
2	$2C_2H_6 \rightarrow C_2H_4 + 2CH_4$	3.16E + 16	2.7E + 5

Для записи данных о каждой элементарной стадии реакции пронумеруем компоненты смеси:  $B_1 = [C_2H_6], B_2 = [C_2H_4], B_3 = [H_2], B_4 = [CH_4].$ 

Соответственно, имеем следующую запись для двух стадий реакции:

$$(1,0,2,3,1,0,1,1,1.08 \cdot 10^{16}, 2.5 \cdot 10^5)$$
  
 $(1,0,2,4,2,0,1,2,3.16 \cdot 10^{16}, 2.7 \cdot 10^5)$ 

Задачу решаем со следующими начальными условиями:

$$T = 800K, c_1(0) = 1, c_2(0) = 0, c_3(0) = 0, c_4(0) = 0$$

На рисунке 1 представлены результаты работы программы в момент установления. Полученные результаты хорошо согласуются с результатами, полученными другими

авторами [6; 7]. В таблице 2 представлены значения концентраций в установившемся течении.

Таблица 2 **Сравнение результатов работы программы с полученными ранее** 

Концентрации	Результаты текущей работы	Результаты, полученные	
		аналитически в [6]	
$c_1$	0	0	
$c_2$	0.939841	0.94	
$c_3$	0.878950	0.88	
$c_4$	0.121782	0.12	

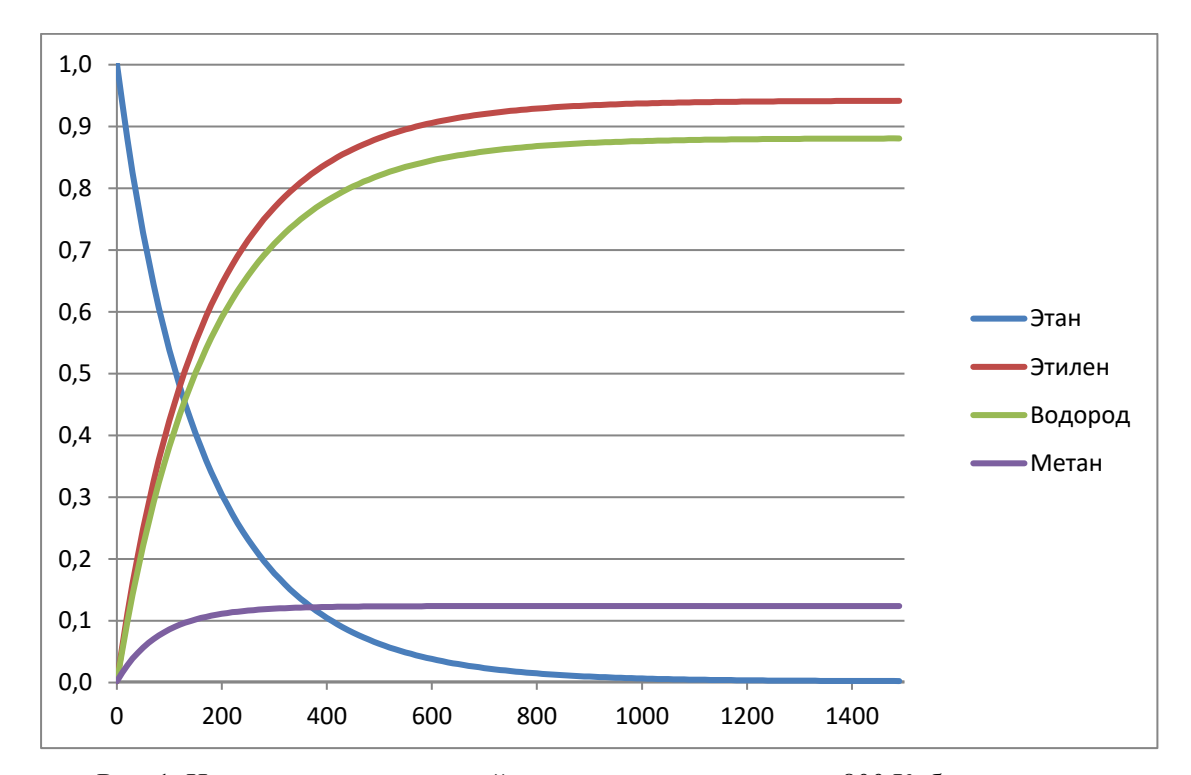


Рис. 1. Изменение концентраций веществ при температуре 800 К, брутто-схема.

Для более точного описания химических превращений в вычислительной практике, как правило, используются схемы с большим количеством элементарных стадий реакции. Покажем, что разработанный программный код дает выигрыш по времени вычислений в сравнении с явным методом Эйлера и методом Розенброка второго порядка, реализованного в системе МАТLAB.

Для построения математической модели пиролиза этана принята 15-ти стадийная схема реакции, включающая 12 компонент смеси, представленная в таблице 3 [8].

Таблица 3 Схема и кинетические параметры радикального механизма пиролиза этана

№	Стадия	$\lg A_i$ , $^1/_{\mathcal{C}}$ или $^1/_{(\text{моль}\cdot \mathbf{c})}$	$E_i$ , $^{\kappa \not\square \varkappa}/_{MOЛЬ}$
1	$C_2H_6 \rightarrow CH_3^{\bullet} + CH_3^{\bullet}$	16.0	360.0
2	$CH_3^{\bullet} + C_2H_6 \rightarrow CH_4 + C_2H_5^{\bullet}$	10.0	50.0
3	$C_2H_5^{\bullet} \rightarrow C_2H_4 + H^{\bullet}$	13.5	170.0
4	$H^{\bullet} + C_2H_6 \rightarrow H_2 + C_2H_5^{\bullet}$	11.0	40.0
5	$H^{\bullet} + C_2 H_4 \rightarrow C_2 H_5^{\bullet}$	10.4	8.4
6	$CH_3^{\bullet} + C_2H_4 \rightarrow n - C_3H_7^{\bullet}$	10.9	33.0
7	$n - C_3H_7^{\bullet} \rightarrow CH_3^{\bullet} + C_2H_4$	13.9	137.0
8	$C_2H_5^{\bullet} + C_2H_5^{\bullet} \to C_2H_4 + C_2H_6$	10.0	8.4
9	$n - C_3 H_7^{\bullet} + C_2 H_4 \rightarrow C_2 H_5^{\bullet} + C_3 H_6$	7.4	27.6
10	$CH_3^{\bullet} + C_2H_4 \rightarrow CH_4 + C_2H_3^{\bullet}$	8.6	35.0
11	$CH_3^{\bullet} + C_2H_3^{\bullet} \rightarrow CH_4 + C_2H_2$	9.95	3.2
12	$C_2H_3^{\bullet} + H^{\bullet} \rightarrow C_2H_2 + H_2$	10.0	0.0
13	$C_2H_4 \rightarrow {}^{\bullet}C_2H_4^{\bullet}$	15.8	253.0
14	${}^{\bullet}C_{2}H_{4}^{\bullet} + C_{2}H_{6} \rightarrow CH_{3}^{\bullet} + n - C_{3}H_{7}^{\bullet}$	14.7	216.0
15	${}^{\bullet}C_2H_4^{\bullet} \rightarrow C_2H_4$	5.38	0.0

Введем следующие обозначения:  $B_1 = [C_2H_6]$ ,  $B_2 = [C_2H_4]$ ,  $B_3 = [H_2]$ ,  $B_4 = [CH_4]$ ,  $B_5 = [CH_3^{\bullet}]$ ,  $B_6 = [C_2H_5^{\bullet}]$ ,  $B_7 = [H^{\bullet}]$ ,  $B_8 = [n - C_3H_7^{\bullet}]$ ,  $B_9 = [C_3H_6]$ ,  $B_{10} = [C_2H_3^{\bullet}]$ ,  $B_{11} = [C_2H_2]$ ,  $B_{12} = [{}^{\bullet}C_2H_4^{\bullet}]$ .

Формируем записи элементарных стадий реакции согласно таблице 3 (табл. 4).

Таблица 4 Запись стадий реакции для дальнейших расчетов

Запись стадий реакции
(1,0,5,0,1,0,2,0,16,360)
(5,1,4,6,1,1,1,10,10,50)
(6,0,2,7,1,0,1,1,13,170)
(7,1,3,6,1,1,1,11,40)
(7,2,6,0,1,1,1,0,10.4,8.4)
(5,2,8,0,1,1,1,0,10.9,33)
(8,0,5,2,1,0,1,1,13.9,137)
(6,6,2,1,1,1,1,10,8.4)
(8,2,6,9,1,1,1,7.4,27.6)
(5,2,4,10,1,1,1,1,8.6,35)
(5,10,4,11,1,1,1,9.35,3.2)
(10,7,11,3,1,1,1,15,10,0)
(2,0,12,0,1,0,1,0,15.8,253)
(12,1,5,8,1,1,1,1,14.7,216)
(12,0,2,0,1,0,1,0,5.38,0)

Задачу решаем со следующими начальными условиями:

$$T = 900 K, c_1(0) = 1, c_2(0) = 0, ..., c_{12}(0) = 0$$

Были проведены расчеты с использованием трех вышеупомянутых методов, получены хорошо согласованные друг с другом результаты. На рис. 2 представлен результат работы разработанного программного модуля.

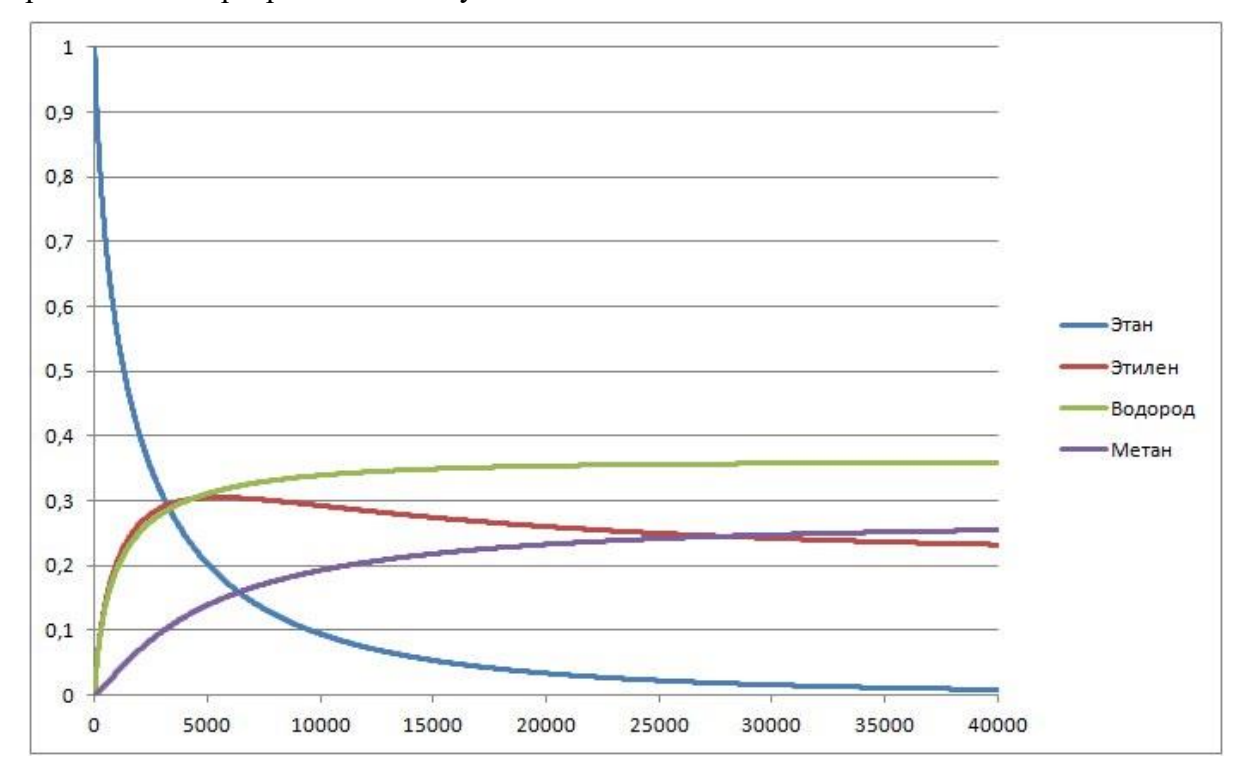


Рис. 2. Изменение концентраций веществ при температуре 800 К.

В таблице 5 представлено время выполнения каждого метода, расчеты велись до времени  $t=1~{\rm ce}\kappa.$ 

Таблица 5 **Время расчета методов** 

	Разработанный код	Разработанный код	Метод Розенброка
	на основе метода [2]	на основе явного	второго порядка в
		метода Эйлера	системе MATLAB
Время	3 мс	29109 мс	138 мс

Таким образом, разработанный программный код имеет преимущество по времени выполнения по отношению к явному методу Эйлера и широко известному методу Розенброка второго порядка для решения жестких ОДУ, реализованному в системе MATLAB.

Заключение. С помощью разработанного программного модуля можно проводить моделирование задач химической кинетики, включающих любое количество элементарных стадий. В дальнейшем планируется включение данного модуля в разрабатываемый пакет программ [9; 10] для расчета динамики многокомпонентного ламинарного газового потока с учетом химических реакций.

## ЛИТЕРАТУРА

- 1. Галанин М. П., Ходжаева С. Р. Методы решения жестких обыкновенных дифференциальных уравнений. Результаты тестовых расчетов // Препринт ИПМ им. М. В. Келдыша. -2013. -№ 98. -29 с.
- 2. Белов А. А., Калиткин Н. Н., Кузьмина Л. В. Моделирование химической кинетики в газах // Математическое моделирование. 2016. Т. 28, № 8. С. 46–64.
- 3. Штиллер В. Уравнение Аррениуса и неравновесная кинетика. М.: Мир, 2000. 176 с.
- 4. Мухина Т. Н., Барабанов Н. Л., Бабаш С. Е. и др. Пиролиз углеводородного сырья. М.: Химия, 1987. 240 с.
- 5. Губайдуллин И. М., Пескова Е. Е., Язовцева О. С. Математическая модель динамики многокомпонентного газа на примере брутто-реакции пиролиза этана [Электронный ресурс] // Огарев-online. 2016. № 20. Режим доступа: http://journal.mrsu.ru/arts/matematicheskaya-model-dinamiki-mnogokomponentnogo-gaza-na-primere-brutto-reakcii-piroliza-etana.
- 6. Язовцева О. С. Локальная покомпонентная асимптотическая эквивалентность и ее применение к исследованию устойчивости по части переменных [Электронный ресурс] // Огарев-online. 2017. № 13. Режим доступа: http://journal.mrsu.ru/arts/lokalnaya-pokomponentnaya-asimptoticheskaya-ekvivalentnost-i-ee-primenenie-k-issledovaniyu-ustojchivosti-po-chasti-peremennyx.
- 7. Назаров В. И., Пескова Е. Е., Язовцева О. С. Численное моделирование жестких систем с использованием (4,2)-метода [Электронный ресурс] // Огарев-online. 2017. № 13. Режим доступа: http://journal.mrsu.ru/arts/chislennoe-modelirovanie-zhestkix-sistem-s-ispolzovaniem-42-metoda.
- 8. Nurislamova L. F, Stoyanovskaya O. P., Stadnichenko O. A., Gubaidullin I. M., Snytnikov V. N., Novichkova A. V. Few-Step Kinetic Model of Gaseous Autocatalytic Ethane Pyrolysis and Its Evaluation by Means of Uncertainty and Sensitivity Analysis // Chemical Product and Process Modeling. 2014. 9 (2). pp. 143–154.

- 9. Жалнин Р. В., Пескова Е. Е., Стадниченко О. А., Тишкин В. Ф. Математическое моделирование динамики многокомпонентного газа с использованием WENO схем на примере пиролиза этана // Журнал Средневолжского математического общества. -2016. Т. 18, № 3. С. 98–106.
- 10. Жалнин Р. В., Пескова Е. Е., Стадниченко О. А., Тишкин В. Ф. Моделирование течения многокомпонентного реагирующего газа с использованием алгоритмов высокого порядка точности // Вестник Удмуртского университета. Математика. Механика. Компьютерные науки. 2017. Т. 27, № 4. С. 608–617.